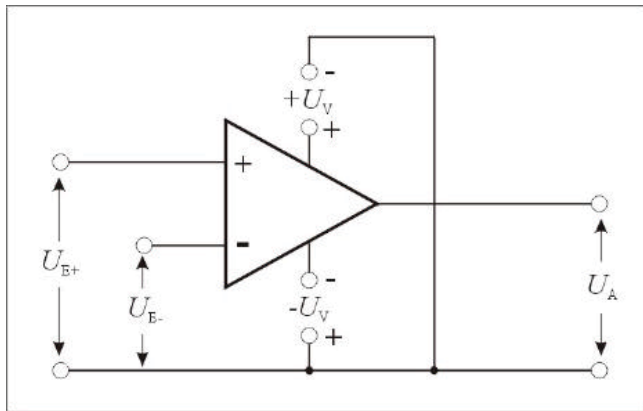


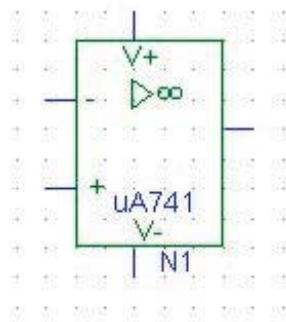


8 Operationsverstärker

In der Analogtechnik werden häufig *Operationsverstärker* eingesetzt.



Schaltsymbol nach DIN



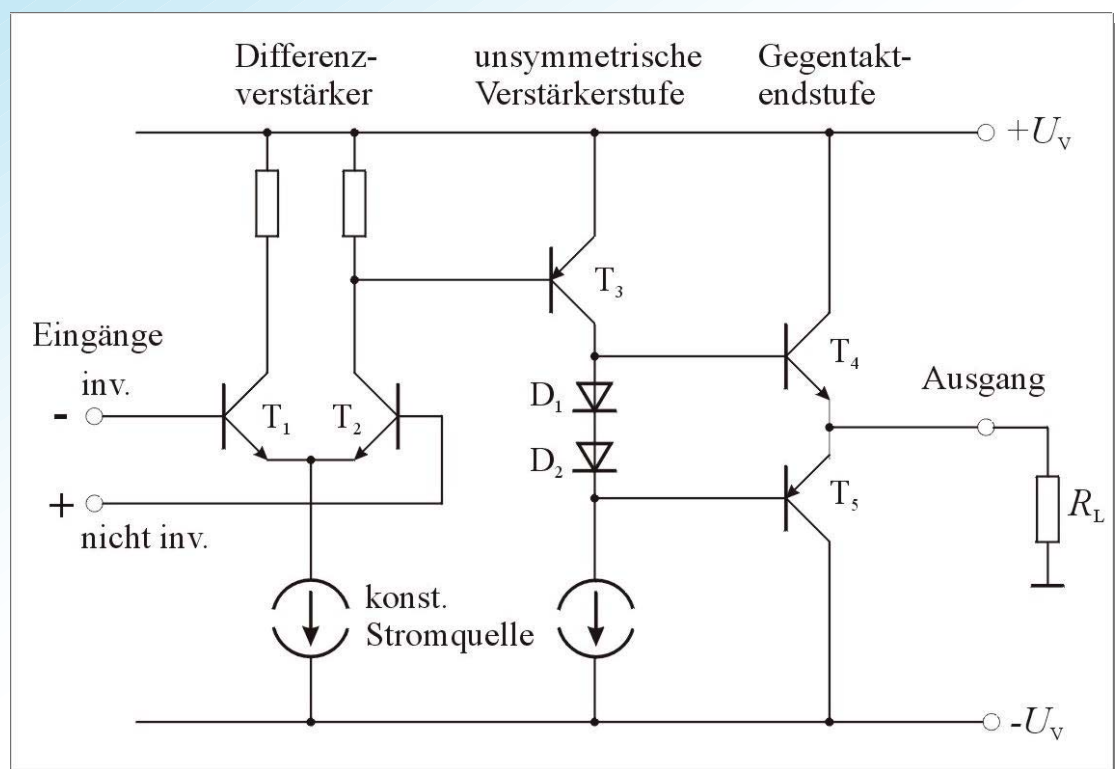
Diese Verstärker haben folgende Eigenschaften:

1. **Sehr hohe Spannungsverstärkung** ($10^4 < v_U < 10^6$)
2. Die erste Stufe ist als **Differenzverstärker** ausgebildet.
3. **Hohe Gleichtaktunterdrückung** der Eingangssignale
4. **Sehr großer Eingangswiderstand**
5. Alle Verstärkerstufen sind **gleichspannungsgekoppelt**.
6. **Sehr kleiner Ausgangswiderstand**

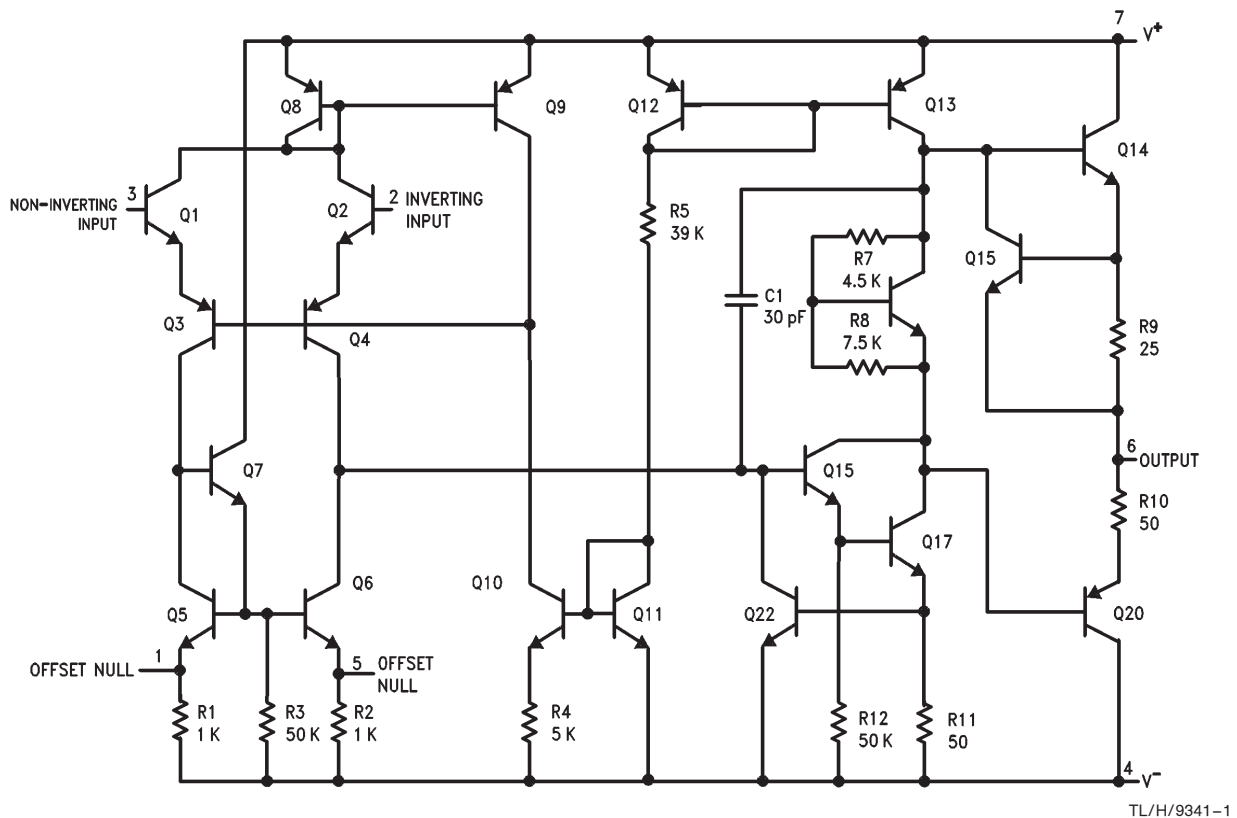
228



8.1 Aufbau eines mehrstufigen Operationsverstärkers



Schematic Diagram



General Description LM741

The LM741 series are general purpose operational amplifiers which feature improved performance over industry standards like the LM709.

They are direct, plug-in replacements for the 709C, LM201, MC1439 and 748 in most applications.

The amplifiers offer many features which make their application nearly foolproof:

- overload protection on the input and output
- no latch-up when the common mode range is exceeded,
- as well as freedom from oscillations.

The LM741C/LM741E are identical to the LM741/LM741A except that the LM741C/LM741E have their performance guaranteed over a 0°C to +70°C temperature range, instead of -55°C to +125°C.

Datenblätter (National Semiconductors)

<http://www.national.com/pf/LM/LM741.html>

<http://pac.lrz-muenchen.de> (Proxy)

General Description TL082

These devices are low cost, high speed, dual JFET input operational amplifiers with an internally trimmed input offset voltage (BI-FET II™ technology).

They require low supply current yet maintain a large gain bandwidth product and fast slew rate. In addition, well matched high voltage JFET input devices provide very low input bias and offset currents.

The TL082 is pin compatible with the standard LM1558 allowing designers to immediately upgrade the overall performance of existing LM1558 and most LM358 designs.

These amplifiers may be used in applications such as high speed integrators, fast D/A converters sample and hold circuits and many other circuits requiring low input offset voltage, low input bias current, high input impedance, high slew rate and wide bandwidth.

The devices also exhibit low noise and offset voltage drift.

Datenblätter (National Semiconductors)

<http://www.national.com/pf/TL/TL082.html>

General Description LF157

LF155/LF156/LF157 Series Monolithic JFET Input Operational Amplifier

These are the first monolithic JFET input operational amplifiers to incorporate well matched, high voltage JFETs on the same chip with standard bipolar transistors (BI-FET™ Technology). These amplifiers feature low input bias and offset currents/low offset voltage and offset voltage drift, coupled with offset adjust which does not degrade drift or common-mode rejection. The devices are also designed for high slew rate, wide bandwidth, extremely fast settling time, low voltage and current noise and a low 1/f noise corner.

Applications

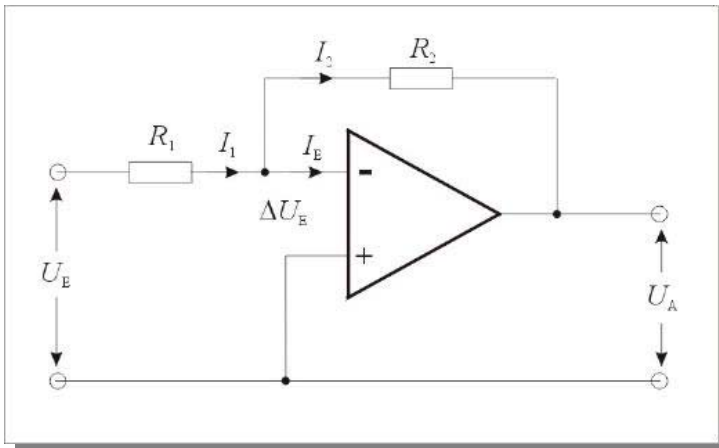
- Precision high speed integrators
- Fast D/A and A/D converters
- High impedance buffers
- Wideband, low noise, low drift amplifiers
- Logarithmic amplifiers
- Photocell amplifiers
- Sample and Hold circuits

Datenblätter (National Semiconductors)

<http://www.national.com/pf/LF/LF157.html>



Das einfachste Beispiel ist der **invertierende Verstärker** mit Gegenkopplung:



Der Eingangsstrom ist

$$I_1 = I_2 + I_E \quad (8.1)$$

Mit dem Eingangswiderstand r_E des OP wird

$$\begin{aligned} I_1 &= \frac{U_E - \Delta U_E}{R_1}, \\ I_2 &= \frac{\Delta U_E - U_A}{R_2}, \\ I_E &= \frac{\Delta U_E}{r_E} \end{aligned} \quad (8.2)$$

Damit folgt

$$\frac{U_E - \Delta U_E}{R_1} = \frac{\Delta U_E - U_A}{R_2} + \frac{\Delta U_E}{r_E} \quad (8.3)$$

und

$$\frac{U_A}{R_2} = -\frac{U_E}{R_1} + \left(\frac{1}{R_1} + \frac{1}{R_2} + \frac{1}{r_E} \right) \Delta U_E \quad (8.4)$$

232



Die Differenzspannung zwischen den beiden Eingängen wird

$$\Delta U_E = \frac{U_A}{v} \quad (8.5)$$

Setzt man das in (8.4) ein, erhält man

$$\frac{U_A}{R_2} = -\frac{U_E}{R_1} + \frac{U_A}{v} \left(\frac{1}{R_1} + \frac{1}{R_2} + \frac{1}{r_E} \right) \quad (8.6)$$

Die Ausgangsspannung wird dann

$$U_A = -\frac{U_E}{R_1 \left[\frac{1}{R_2} - \frac{1}{v} \left(\frac{1}{R_1} + \frac{1}{R_2} + \frac{1}{r_E} \right) \right]} \quad (8.7)$$

(8.7)

Da die Verstärkung $v \gg \gg 1$ ist, vereinfacht sich diese Beziehung auf

$$U_A = -\frac{R_2}{R_1} U_E \quad (8.8)$$

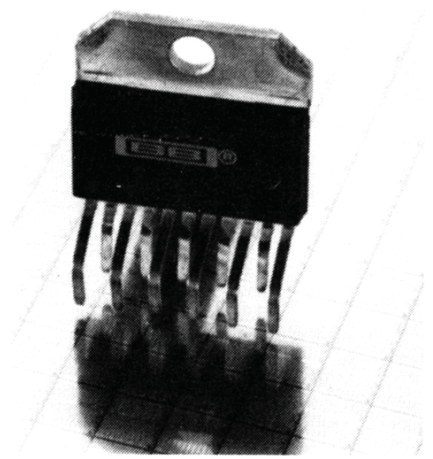
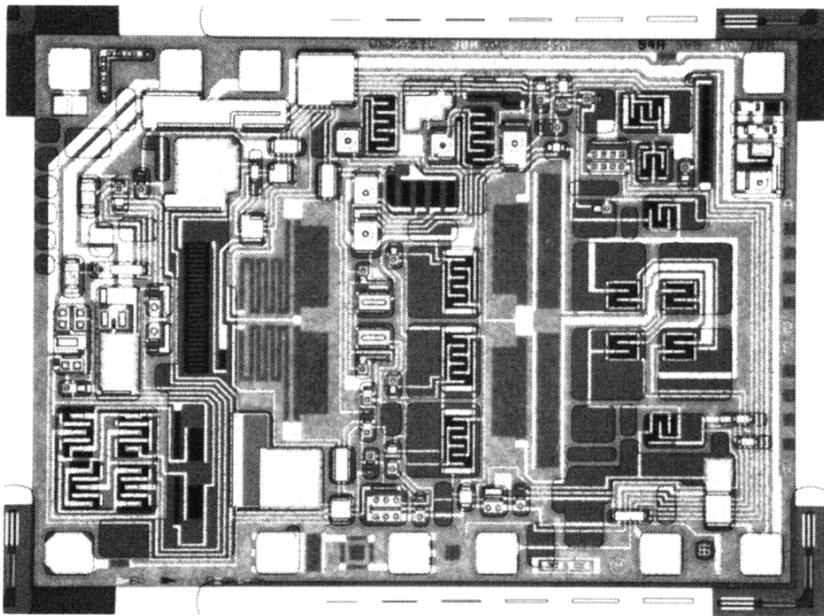
Die Verstärkung hängt nicht mehr von den individuellen Eigenschaften des Operationsverstärkers ab. Sie wird nur noch vom Verhältnis der Widerstände der äußeren Beschaltung bestimmt. Die Verstärkerschaltung ist daher extrem linear.

233

Analoge integrierte Schaltungen

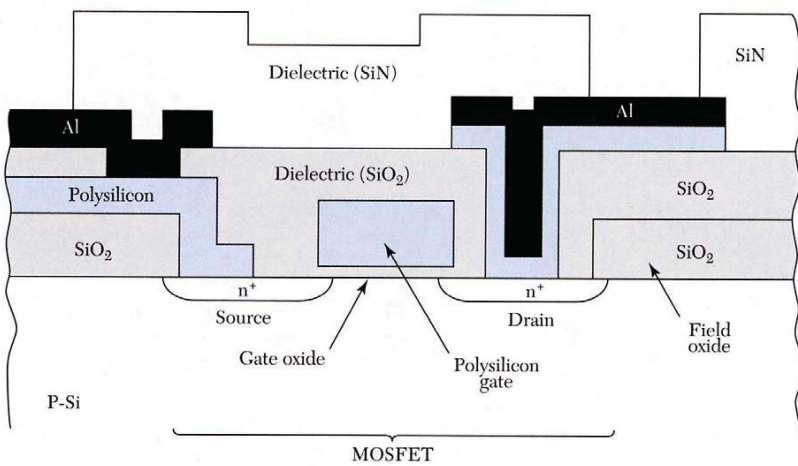
a) Chip-Aufnahme eines schnellen Operationsverstärkers

b) einbaufertiger Operationsverstärker

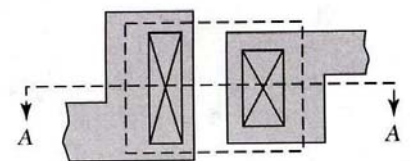
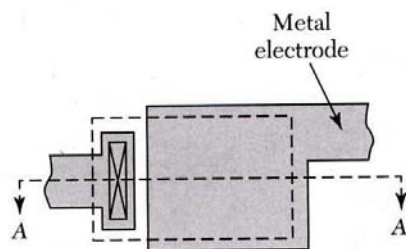


E. Riedle

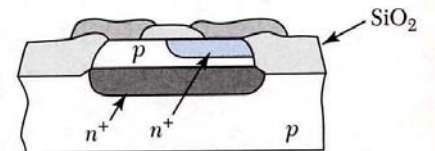
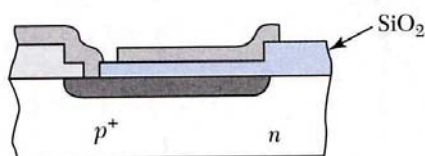
Physik ^{LMU}



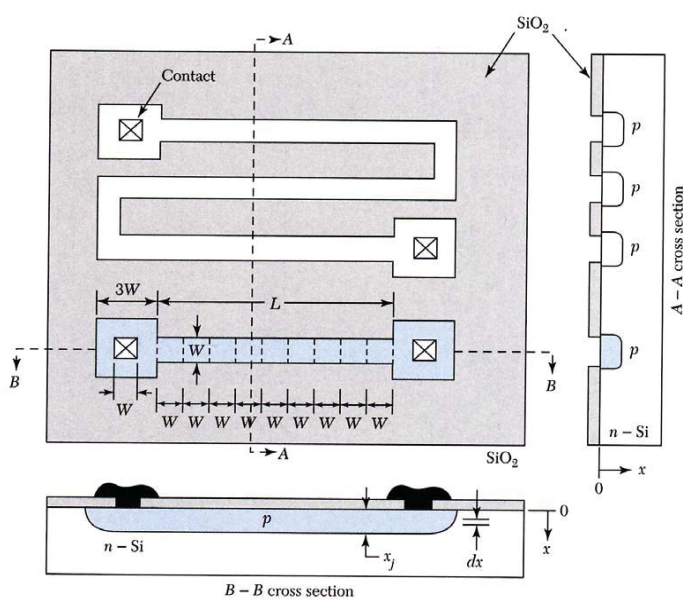
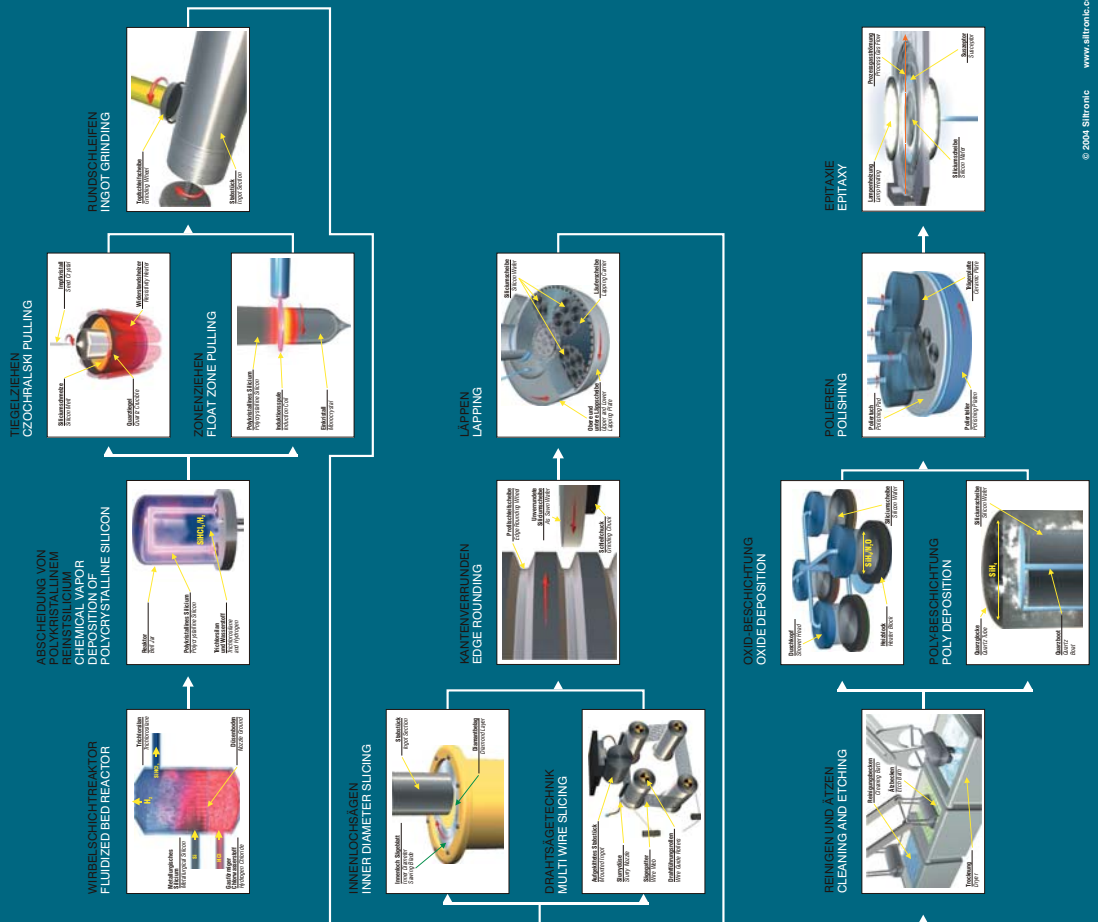
MOSFET Transistor



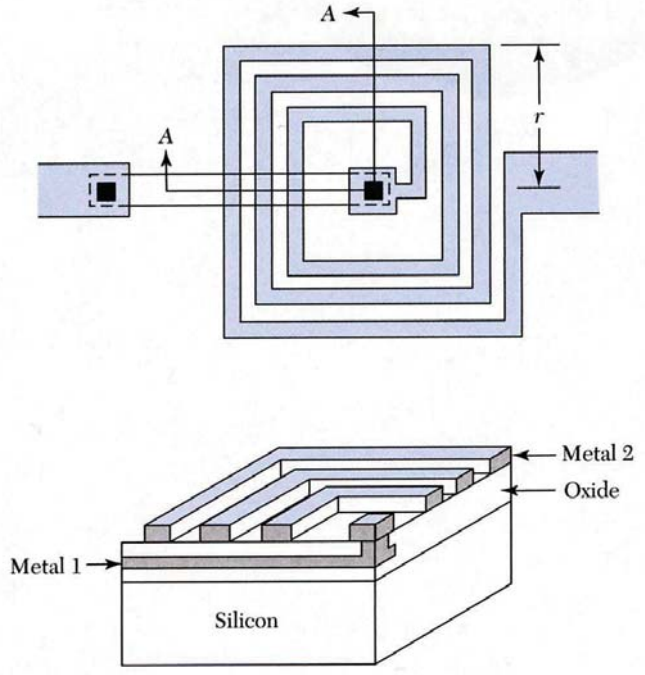
Kondensatoren



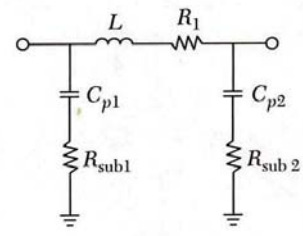
WIE EINE SILICIUM SCHEIBE ENTSTEHT HOW TO PRODUCE A SILICON WAFER



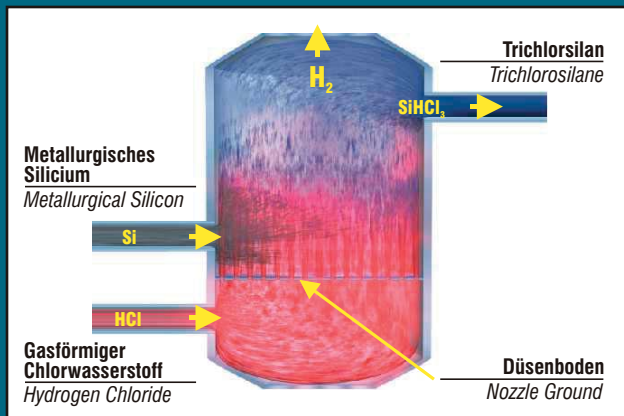
Widerstand



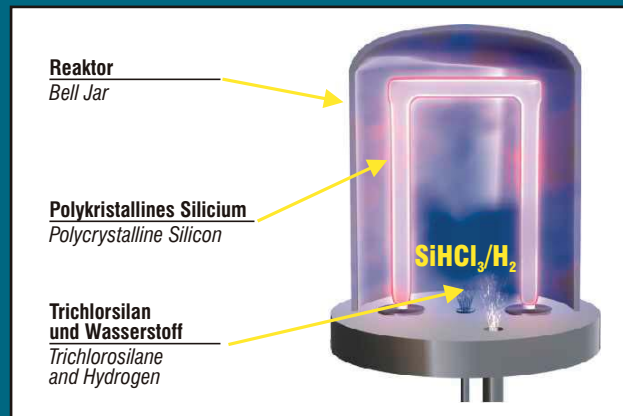
Spule



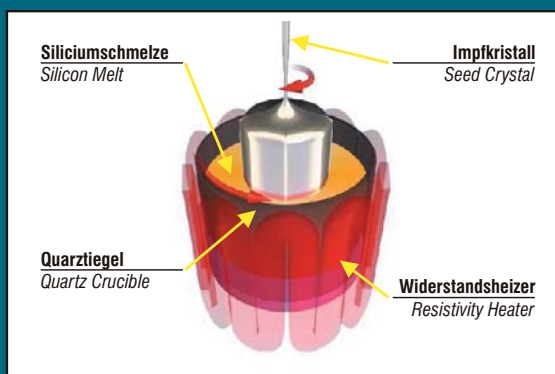
WIRBELSCHICHTREAKTOR FLUIDIZED BED REACTOR



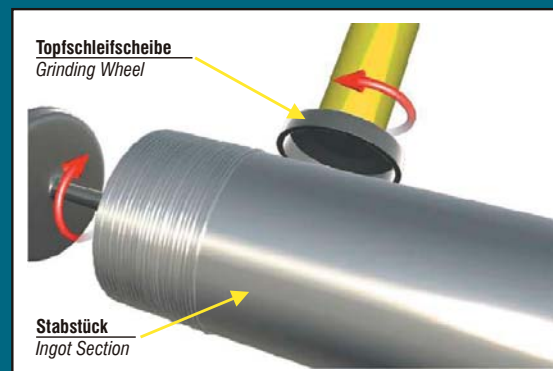
ABSCHEIDUNG VON POLYKRISTALLINEM REINSTSILICIUM CHEMICAL VAPOR DEPOSITION OF POLYCRYSTALLINE SILICON



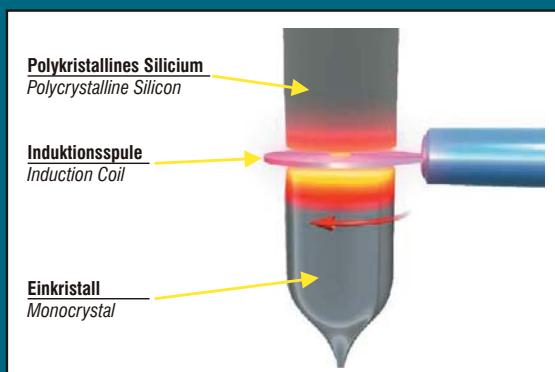
TIEGELZIEHEN CZOCHELSKI PULLING



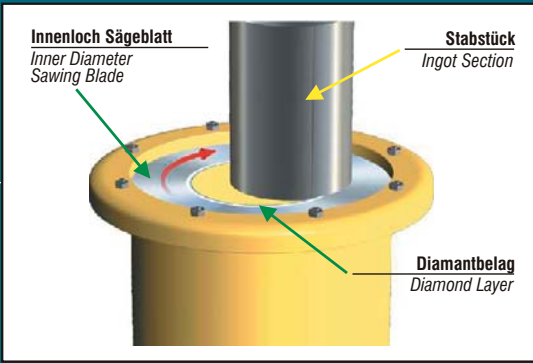
RUNDSCHLEIFEN INGOT GRINDING



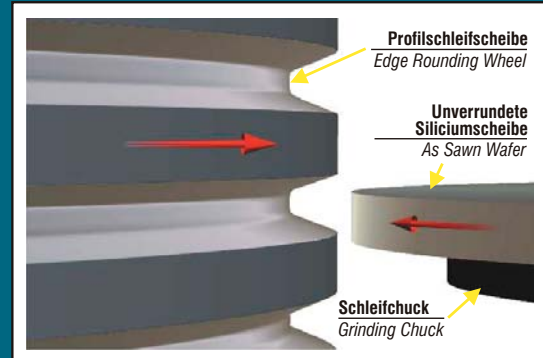
ZONENZIEHEN FLOAT ZONE PULLING



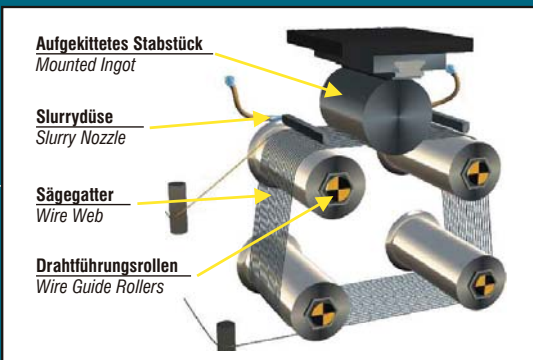
INNENLOCHSÄGEN INNER DIAMETER SLICING



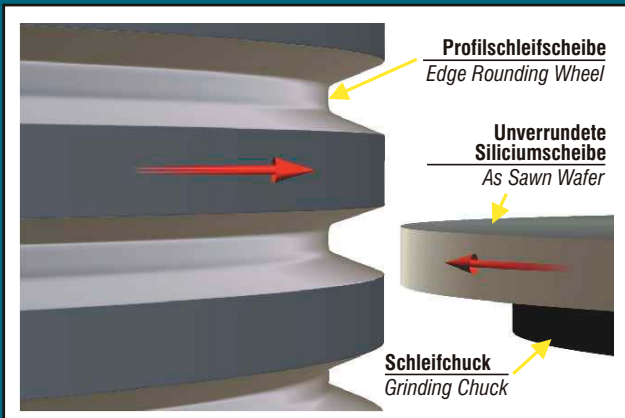
KANTENVERRUNDEN EDGE ROUNDING



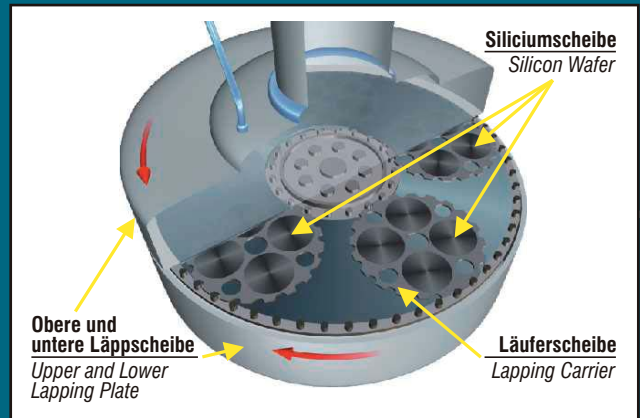
DRAHTSÄGETECHNIK MULTI WIRE SLICING



KANTENVERRUNDEN EDGE ROUNDING

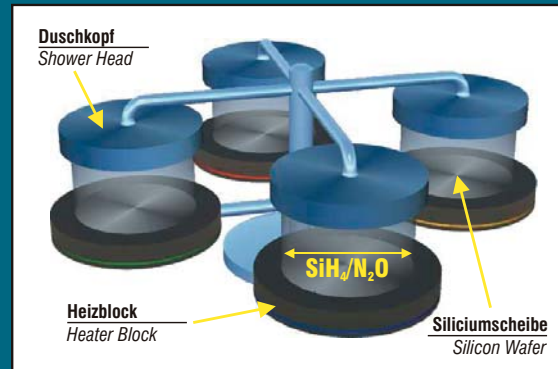
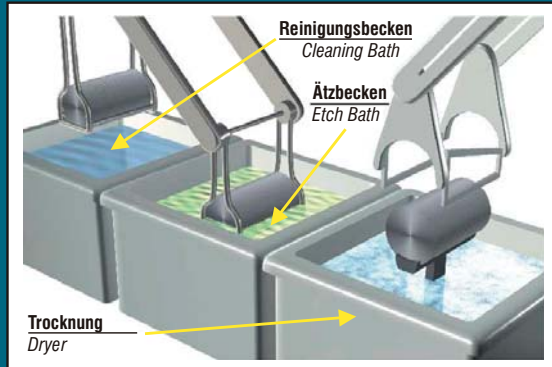


LÄPPEN LAPPING

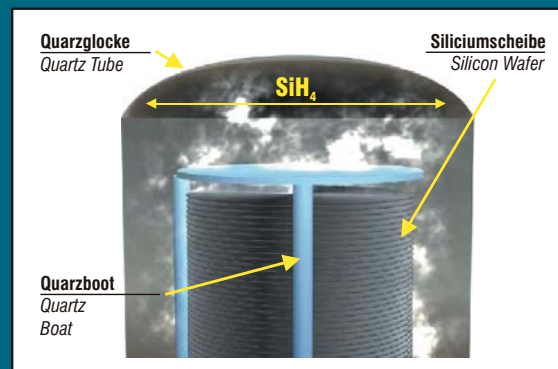


OXID-BESCHICHTUNG OXIDE DEPOSITION

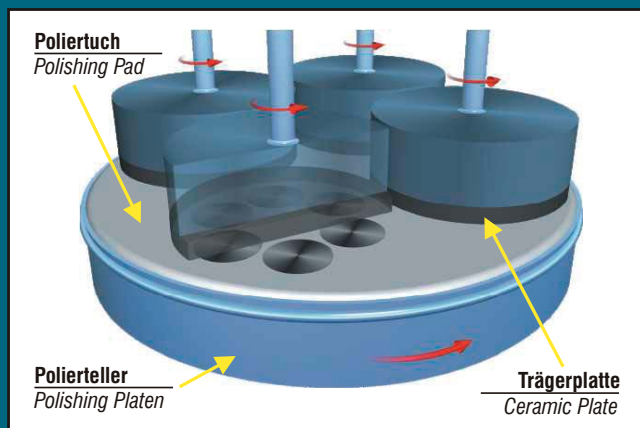
REINIGEN UND ÄTZEN CLEANING AND ETCHING



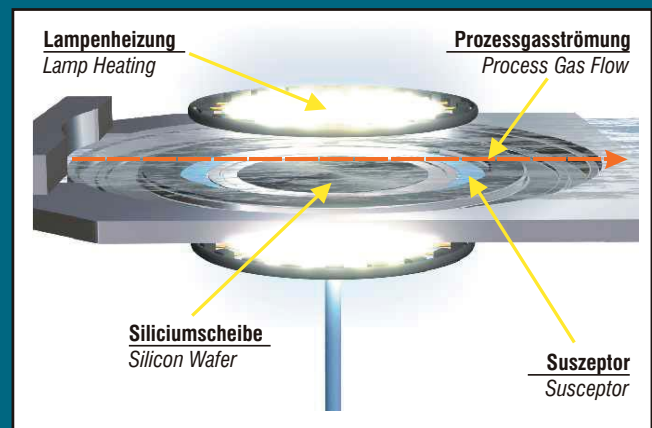
POLY-BESCHICHTUNG POLY DEPOSITION

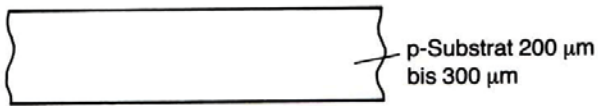


POLIEREN POLISHING



EPITAXIE EPITAXY

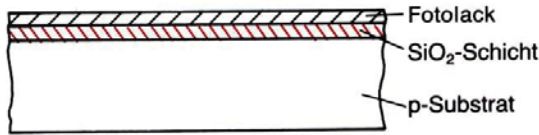




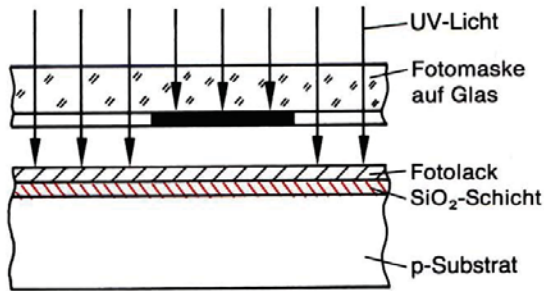
Ausgangsmaterial: p-dotiertes Silizium



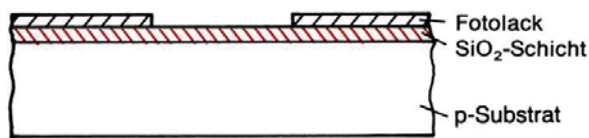
Oxidation zu Siliziumdioxid



Aufbringen des Fotolacks



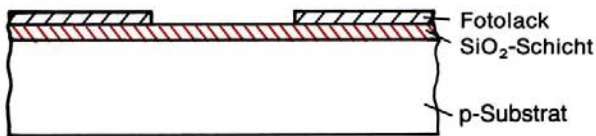
Belichten über eine Fotomaske



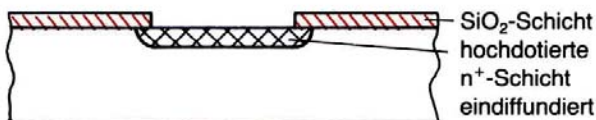
Entfernen des nicht belichteten Fotolacks

E. Riedle

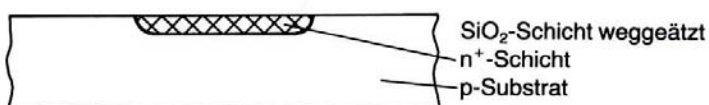
Physik^{LMU}



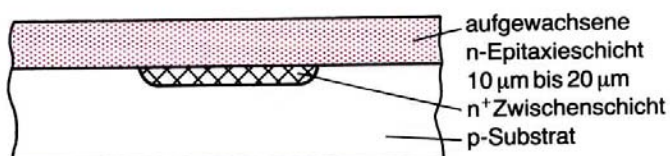
Wegätzen des SiO_2 an den nicht beschichteten Stellen --> **Maske**



Eindiffundieren von n^+



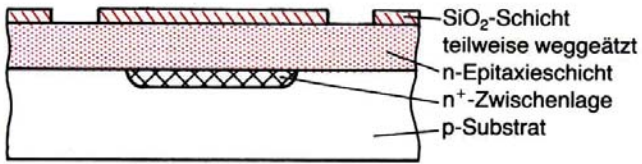
Entfernen der Maske



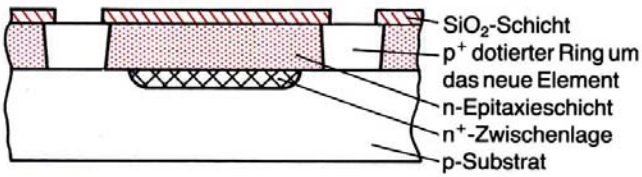
Auswachsen einer n -Epitaxie-
Schicht

E. Riedle

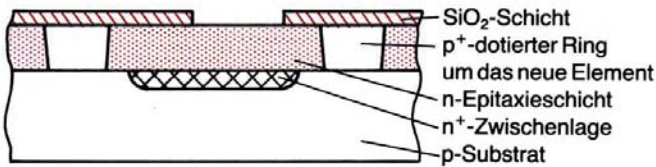
Physik^{LMU}



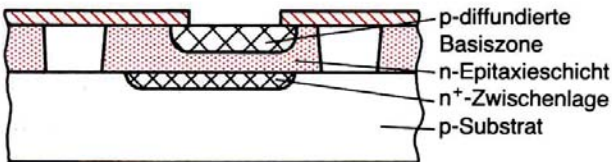
Erzeugen, Maskieren, Ätzen und Reinigen einer SiO₂-Schicht



Eindiffundierung eines p⁺-dotierten Ringes um das zukünftige Bauteil



Erzeugen, Maskieren, Ätzen und Reinigen einer SiO₂-Maske für den Basisbereich

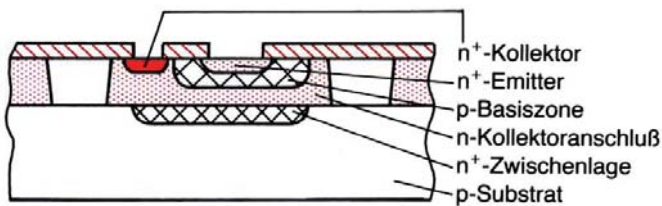


Diffundieren der Basiszone

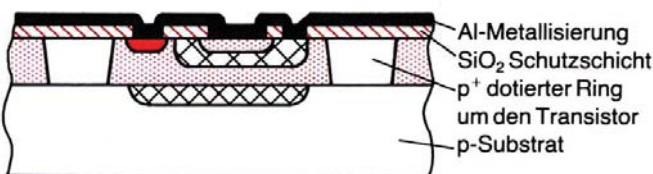
E. Riedle

Physik^{LMU}

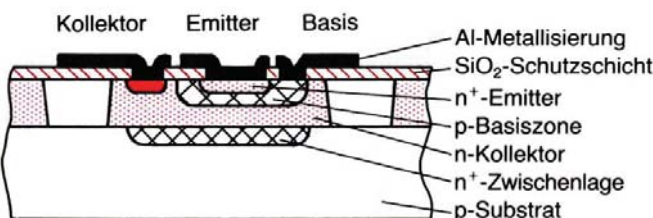
Bipolar Transistor in Silizium Planartechnik



Erzeugen, Maskieren, Ätzen und Reinigen einer SiO₂-Maske für Emitter und Kollektor-Anschluß. Diffundieren dieser Bereiche.



Metallisieren der Oberflächen



Wegätzen der überflüssigen Metalisierung

E. Riedle

Physik^{LMU}